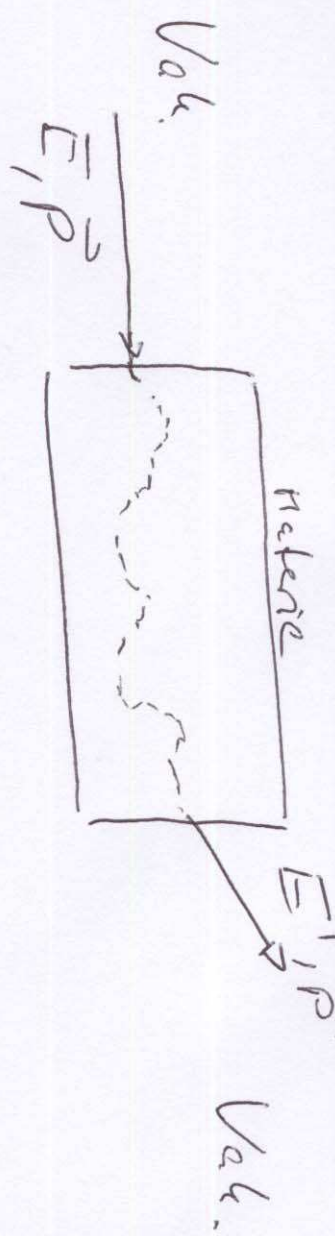


100 geladene Teilchen mit Nuklene

$e^{\pm}, \mu^{\pm}, \pi^{\pm}, p, \alpha, \dots$



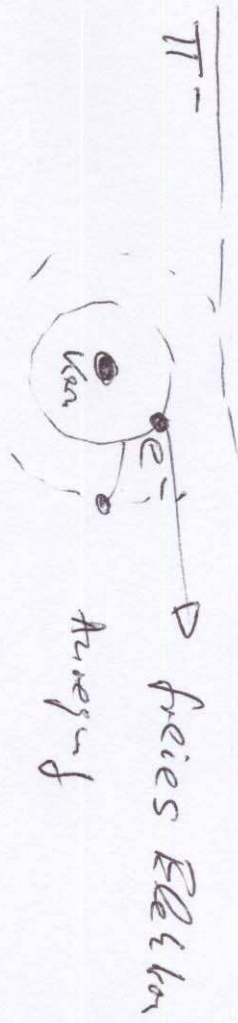
Eintrittsenergie: E^*
 Austrittsenergie: E'
 Eintrittsimpuls: \vec{p}
 Austritts " : \vec{p}'

$\Delta E = E - E'$
 $\Delta \vec{p} = \vec{p} - \vec{p}'$ ("Ableitung")

N.B. Anders als bei Protonen, haben viele Kollisionen
 zwischen Teilchen und Nuklene zum Energiestrom
 bei, man spricht von statischen Effekte.
 (vgl. Protonen stochastische Effekte)

Grundlegende Prozesse können folgendermaßen
 klassifiziert werden:

a) inelastischer Stoß mit abgewanderten Elektronen
(d.h. Ionisationsverluste, Anregung)

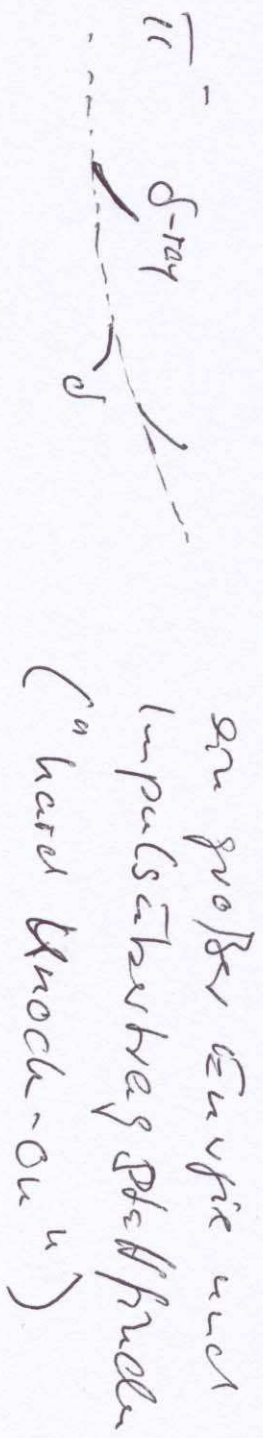


$W_i(I)$: inotwendige Energie, um Elektronen-Paar zu erzeugen

Bsp. Argon ist $W_i \approx 25 \text{ eV}$

$AE \approx 1 \text{ MeV} \Rightarrow 40.000$ freie Elektronen

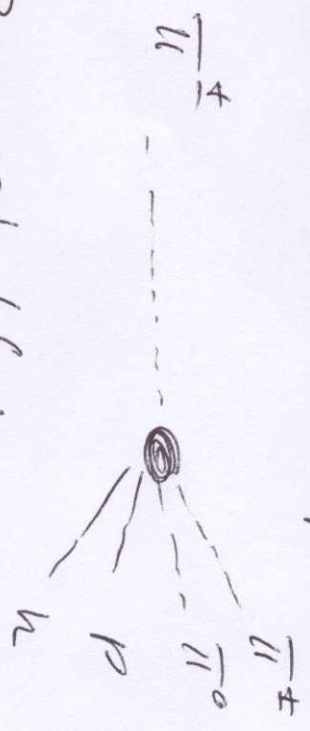
b) δ -rays (δ -Elektronen): Stoelastisch kann



e) elastische Steuerung an Wasser
(d.h. keine Punkte Anlegung)

d) Snelly's emission : Cluster von Snelly

e) inelastische Kernprozesse : Aufbrechen des
Kerns mit
Produktion
von Teilchen



f) Bremsstrahlung



Energieverlust schwerer Teilchen

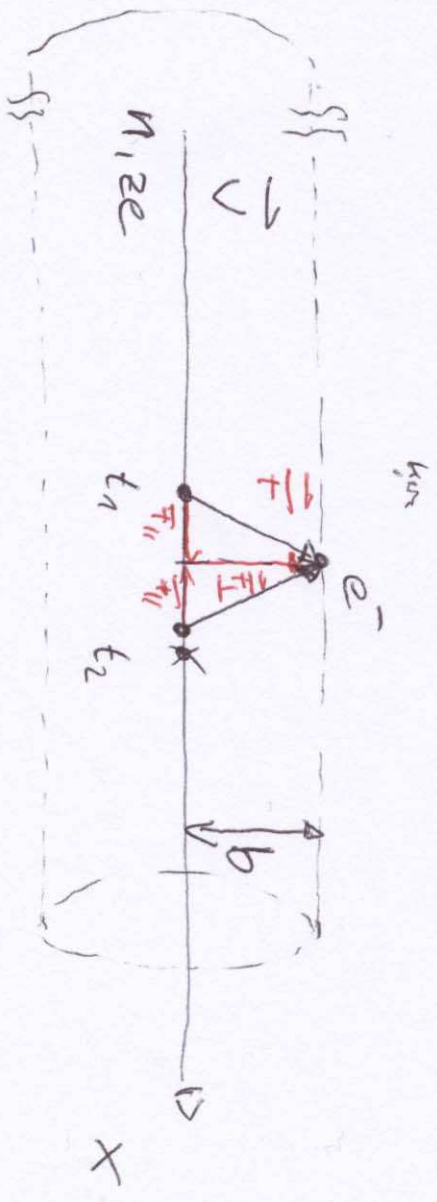
Energieverlust pro Wegstrecke $\frac{dE}{dx}$

$S \equiv$ Stopping power $S = -\frac{dE}{dx}$

Bohr's klassische Beschreibung des Energieverlustes
Schwerer Teilchen ($M \gg m_e$)

Annahmen:

- "freie Elektronen"
 - Rutherford (zu Beginn) "statisches Gitter"
- \rightarrow E-Feld der Teilchenfigurierung



5

$$\Delta p = \int F dt = \int F_{\perp} dt = e \int E_{\perp} dt$$

$$= e \int E_{\perp} \frac{dt}{dx} dx = e \int E_{\perp} \frac{dx}{v}$$

Lösung des Integrals mittels Gaußscher Satz

$$\int_A \vec{E} d\vec{A} = \int E_{\perp} 2\pi b dx = 2\pi b \int E_{\perp} dx = 4\pi ze$$

$$\int E_{\perp} dx = \frac{2ze}{b}$$

$$\Delta p = \frac{2ze^2}{bv}$$

Energieübertrag auf des Elektron

$$\Delta E(b) = \frac{\Delta p^2}{2me} = \frac{2ze^2}{me v^2 b^2}$$

mit Elektronendichte N_e , Energieverlust
an Elektronen zwischen b und $b+db$

$$-dE(b) = \Delta E(b) N_e dV$$

$$= \Delta E(b) N_e 2\pi b db dx$$

$$= \frac{4\pi z^2 e^4}{m_e v^2} N_e \frac{db}{b} dx$$

"Verweil" groß Integral auszuwerten von $b=0$

bis $b = \infty$ in $\frac{dE}{dx}$ zu berechnen. Dies wäre

allerdings im Widerspruch zu unserer Annahme:

UV für große b findet nicht mehr statt.

Ebasso: für $b=0$ wie Energieübertrag realisieren.

\Rightarrow Integration von b_{min} bis b_{max}

$$-\frac{dE}{dx} = \frac{4\pi z^2 e^4}{m_e v^2} N_e \ln \frac{b_{max}}{b_{min}}$$

"physikalische Argumente":

b_{min} : klassisch ist d. max. Winkel Energie transfer
auf Elektronen bei head-on Kollision:

$$\frac{1}{2} m_e (2v)^2 \quad \text{bzw. relativistisch}$$

$$2 \gamma^2 m_e v^2 \quad , \quad \gamma = (1 - \beta^2)^{-1/2} \quad \text{mit } \beta = v/c$$

$$\Rightarrow \frac{2 z^2 e^4}{m_e v^2 b_{\min}^2} = 2 \gamma^2 m_e v^2$$

$$b_{\min} = \frac{ze^2}{\gamma m_e v^2}$$

b_{max}: Elektronen sind (bei nicht) freigesetzt an Atom gebunden. Damit Elektron absorbieren kann, muß die Zeit kurz sein. \approx Vergleich zu 'Umlaufzeit' des Elektrons $T = \frac{1}{\nu}$ Umlauffrequenz

typische Kollisionszeit $t \approx \frac{b}{v}$

relativistisch $t \rightarrow t/\gamma = \frac{b}{\gamma v}$

$$\frac{t}{\gamma} \leq T \Rightarrow \frac{b}{\gamma v} \leq T = \frac{1}{\nu} \Rightarrow \underline{b_{\max}} = \frac{\gamma v}{\nu}$$

$m_7 \rightarrow$ mittlere Winkelfrequenz

$$-\frac{dE}{dx} = \frac{4\pi z^2 e^4}{m_e v^2} N_e L_{\text{u}} \frac{\delta^2 m v^3}{2 e^{2\gamma}}$$

Bohr'sche klassische Formel gibt

gute Beschreibung für α -Teilchen und schwere Ionen. Für Protonen, α -Lagerung

keine gute Beschreibung.

Enthält allerdings alle wesentlichen Eigenschaften!

!

Bethe-Bloch Gleichung

DN Beschreibung des Energieverlustes eines Teilchens

d. Ladung z in einer Materie mit Dichte ρ und

dx (gültig für $15 < v < 10^8$)

$$-\frac{dE}{dx} = 2\pi N_A n_e^2 m_e c^2 g \frac{Z}{A} \frac{z^2}{\beta^2} \left[\ln \left(\frac{2 m_e \gamma^2 v^2 W_{\max}}{J^2} \right) - 2\beta^2 - \frac{1}{2} \right] \quad (9)$$

$$2\pi N_A n_e^2 m_e c^2 = 0,1535 \text{ MeV cm}^2/\text{g}$$

Fe: Klassische Elektronenradius $2,817 \cdot 10^{-15} \text{ m}$

m_e : Elektronenmasse

N_A : Avogadro's Zahl $6,022 \cdot 10^{23} \text{ mol}^{-1}$

I : mittlere Anregungsenergie des abs. Retenils

Z : Ordnungszahl des absorbierten Retenils

A : Massezahl

g : Dichte

z : Ladungszahl des Projektils (Fotons)

β : v/c

γ : $1/\sqrt{1-\beta^2}$

δ : Dichte Wolkammer

W_{\max} : $z^2 m_e c^2 \beta^2 \gamma^2$

Projektil polarisiert Medium
 Rings seiner Weyers. E-Feld für
 Entpunkte Elektronen Winkels
 Abgeschnitt.

N.B. Energieverlust hängt von Geschwindigkeit und Ladung des Teilchens ab (- nicht von deren Masse)

I x h ν (aus Bohrscher Formel)

$$\frac{1}{Z} = (12 + \frac{Z}{2}) eV \quad Z < 13$$

$$\frac{1}{Z} = 9,76 + 58,82 \cdot 10^{-11} Z > 13$$

Diskussion

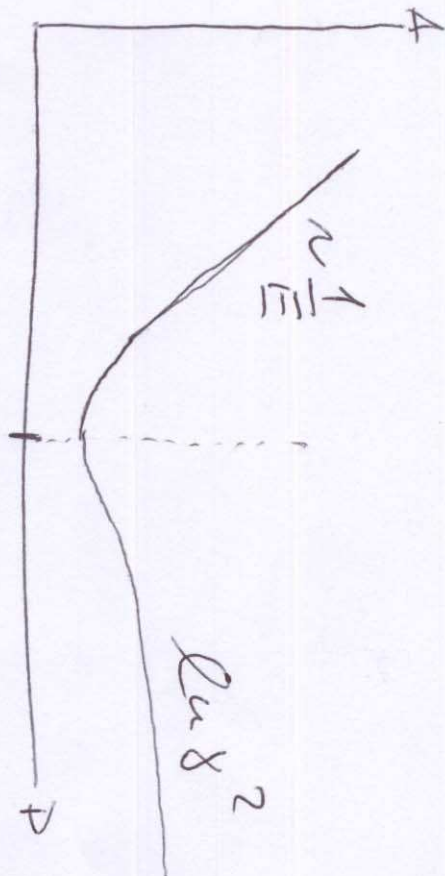
• Bei nicht relativistischer Bewegung ist $\frac{dE}{dx} \propto \frac{1}{\sigma^2} \propto \frac{1}{\beta^2}$

• Abnahme von $\frac{dE}{dx}$ mit Zunahme der Geschwindigkeit

bis $v \approx 0,96c$, wo nur minimal sind
"MIP" : minimal ionizing particles

• Für $v > 0,96c$ Zunahme von $\frac{dE}{dx} \propto \ln \frac{1}{1-\beta^2}$

$\log\left(-\frac{dE}{dx}\right)$

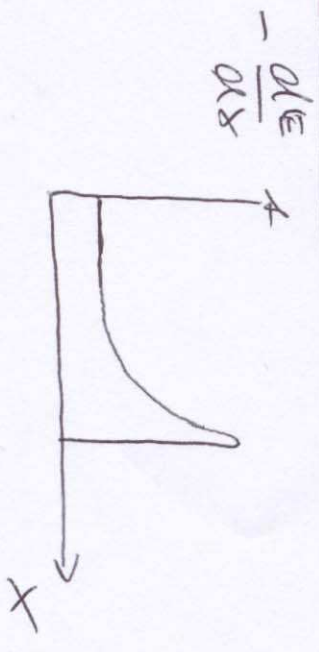


$B = 0,96$ $\log E$

$(E_{kn} \sim 2 \text{ MeV}^2)$

für $B \geq 1000$ werden Streulängsprozesse
 wichtig und dominieren $\frac{dE}{dx}$.

Bragg-Kurve Ξ energie deponieren auf der Targetspur



Max. Energieverlust am Ende
 der Spur. ~~Es~~
 Anstieg in der streulängskurve
 mit schweren Ionen.

E-Lehre

Zusatz: Energieverlust durch Bremsstrahlung aufgrund der ganzen Masse

Massiv: Einström von EM-Strahlung aufgrund der Beschleunigung (d.h. Ableitung von Geschwindigkeit Bewegung) durch das elektrische Feld des Nenners.

Bei kleinen ReV ist $\frac{dE}{dx}$ über Bremsstrahlung gering.

Bei großen ReV u. dominiert durch Bremsstrahlung

$$\left(\frac{dE}{dx} \right)_{tot} = \left(\frac{dE}{dx} \right)_{rad} + \left(\frac{dE}{dx} \right)_{coll.}$$

$$-\left(\frac{dE}{dx} \right)_{rad} \approx 4 \times \frac{N_A}{A} \times 8 \times \frac{Z^2 r_e^2 E}{2^{1/3}} \approx \frac{E}{X_0}$$

kritische Energie E_c : $\left(\frac{dE}{dx} \right)_{rad} = \left(\frac{dE}{dx} \right)_{coll}$ für $E = E_c$

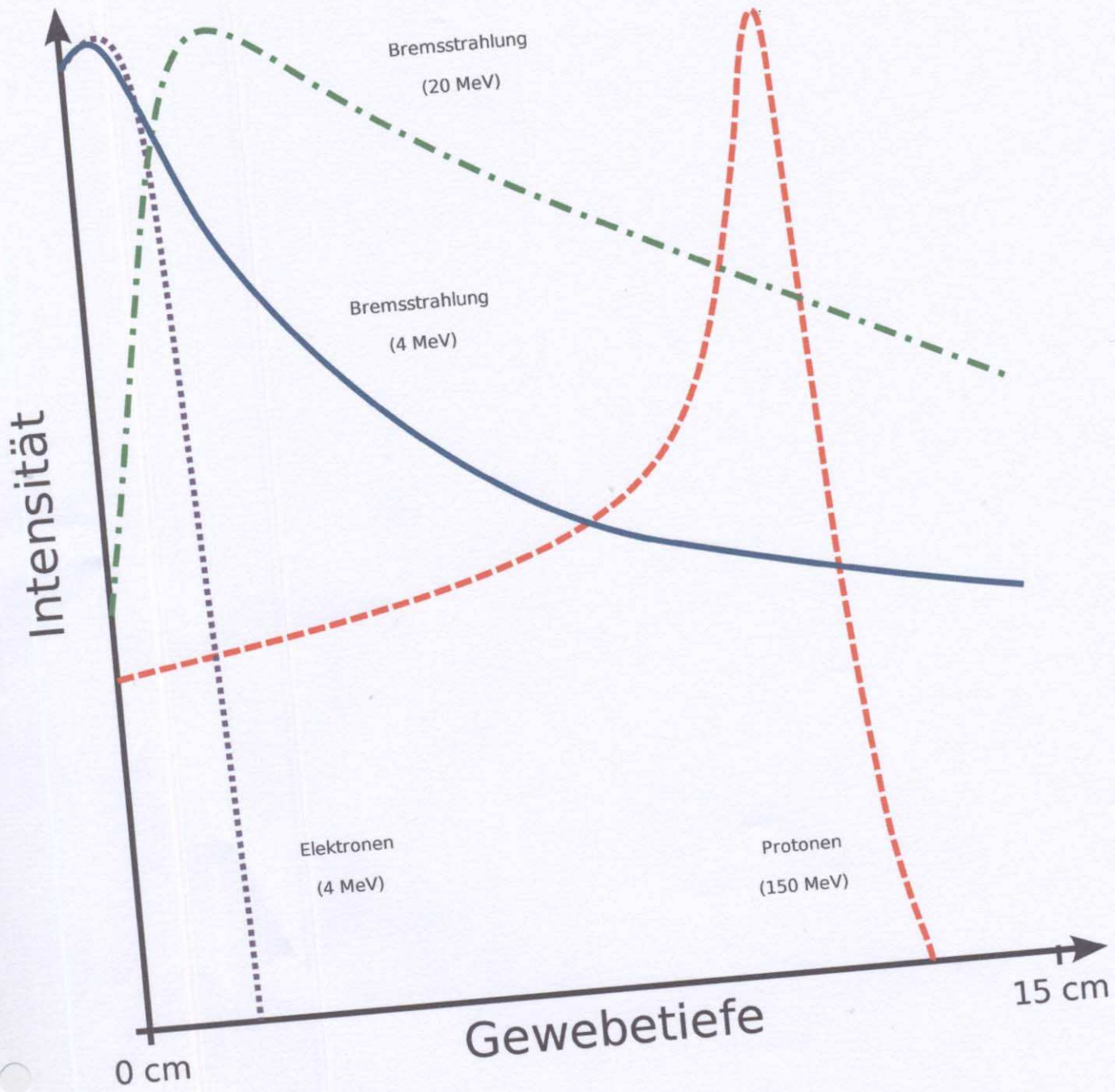
(13)

$E_c \approx \frac{800 \text{ rel}}{z + 1,2}$
 Bsp: $Pb \quad E_c = 3,51 \text{ rel}$
 $Ar \quad 51,0 \text{ rel}$
 $H_2O \quad 92,0 \text{ rel}$

$$\Rightarrow E(x) e^{-x/x_0}$$

$$\left(- \frac{dE}{E} \right) = \frac{dx}{x_0}$$

1/0 reduzierte



4 27. Passage of particles through matter

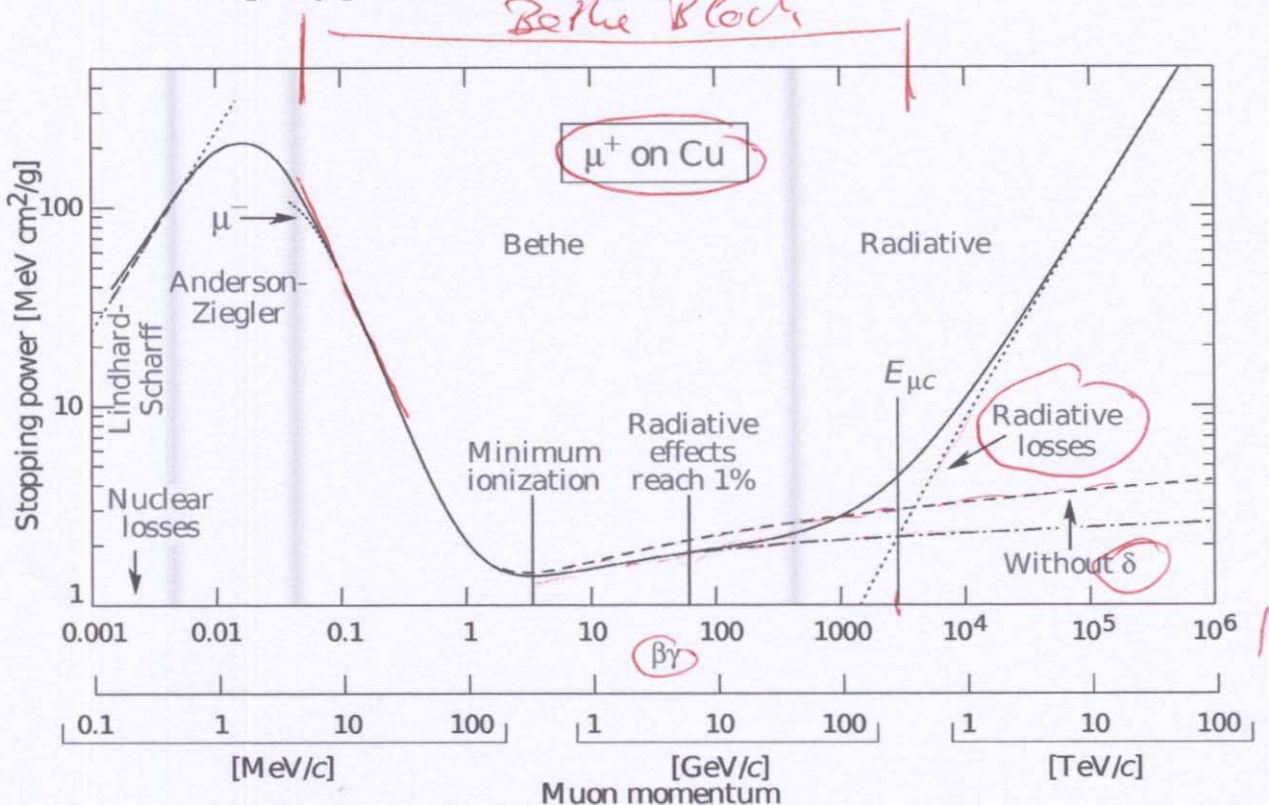


Fig. 27.1: Stopping power ($= \langle -dE/dx \rangle$) for positive muons in copper as a function of $\beta\gamma = p/Mc$ over nine orders of magnitude in momentum (12 orders of magnitude in kinetic energy). Solid curves indicate the total stopping power. Data below the break at $\beta\gamma \approx 0.1$ are taken from ICRU 49 [4], and data at higher energies are from Ref. 5. Vertical bands indicate boundaries between different approximations discussed in the text. The short dotted lines labeled “ μ^- ” illustrate the “Barkas effect,” the dependence of stopping power on projectile charge at very low energies [6].

27.2.2. Stopping power at intermediate energies :

The mean rate of energy loss by moderately relativistic charged heavy particles, $M_1/\delta x$, is well-described by the “Bethe” equation,

$$-\left\langle \frac{dE}{dx} \right\rangle = K z^2 \frac{Z}{A} \frac{1}{\beta^2} \left[\frac{1}{2} \ln \frac{2m_e c^2 \beta^2 \gamma^2 T_{\max}}{I^2} - \beta^2 - \frac{\delta(\beta\gamma)}{2} \right]. \quad (27.3)$$

It describes the mean rate of energy loss in the region $0.1 \lesssim \beta\gamma \lesssim 1000$ for intermediate- Z materials with an accuracy of a few %. At the lower limit the projectile velocity becomes comparable to atomic electron “velocities” (Sec. 27.2.3), and at the upper limit radiative effects begin to be important (Sec. 27.6). Both limits are Z dependent. Here T_{\max} is the maximum kinetic energy which can be imparted to a free electron in a single collision, and the other variables are defined

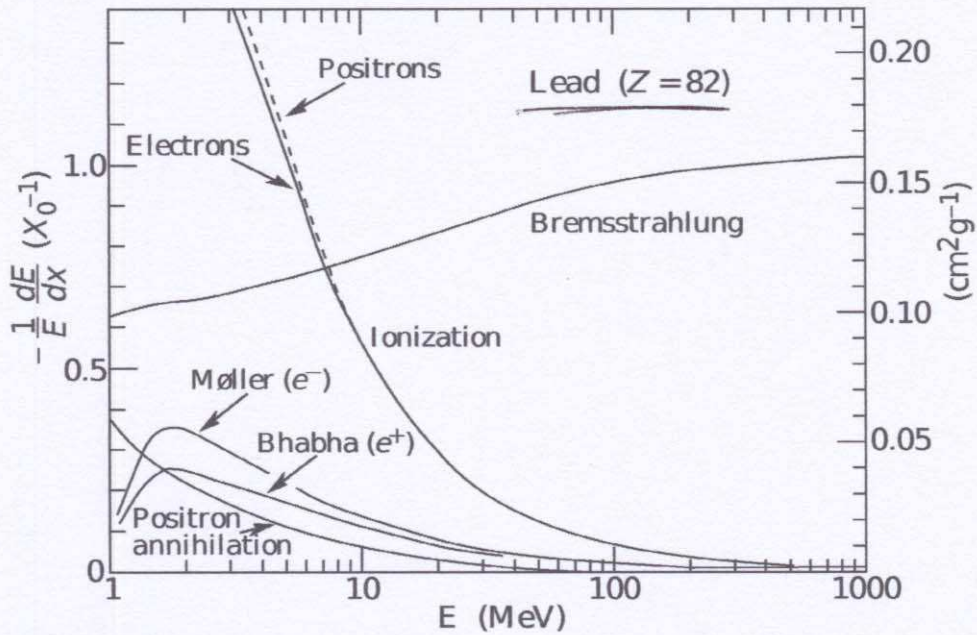


Figure 27.10: Fractional energy loss per radiation length in lead as a function of electron or positron energy. Electron (positron) scattering is considered as ionization when the energy loss per collision is below 0.255 MeV, and as Møller (Bhabha) scattering when it is above. Adapted from Fig. 3.2 from Messel and Crawford, *Electron-Photon Shower Distribution Function Tables for Lead, Copper, and Air Absorbers*, Pergamon Press, 1970. Messel and Crawford use $X_0(\text{Pb}) = 5.82 \text{ g/cm}^2$, but we have modified the figures to reflect the value given in the Table of Atomic and Nuclear Properties of Materials ($X_0(\text{Pb}) = 6.37 \text{ g/cm}^2$).

At very high energies and except at the high-energy tip of the bremsstrahlung spectrum, the cross section can be approximated in the “complete screening case” as [38]

$$\begin{aligned} d\sigma/dk = (1/k)4\alpha r_e^2 \left\{ \left(\frac{4}{3} - \frac{4}{3}y + y^2 \right) [Z^2(L_{\text{rad}} - f(Z)) + Z L'_{\text{rad}}] \right. \\ \left. + \frac{1}{9}(1-y)(Z^2 + Z) \right\}, \end{aligned} \quad (27.26)$$

where $y = k/E$ is the fraction of the electron’s energy transferred to the radiated photon. At small y (the “infrared limit”) the term on the second line ranges from 1.7% (low Z) to 2.5% (high Z) of the total. If it is ignored and the first line simplified with the definition of X_0 given in Eq. (27.22), we have

$$\frac{d\sigma}{dk} = \frac{A}{X_0 N_A k} \left(\frac{4}{3} - \frac{4}{3}y + y^2 \right). \quad (27.27)$$

This cross section (times k) is shown by the top curve in Fig. 27.11.

This formula is accurate except in near $y = 1$, where screening may become

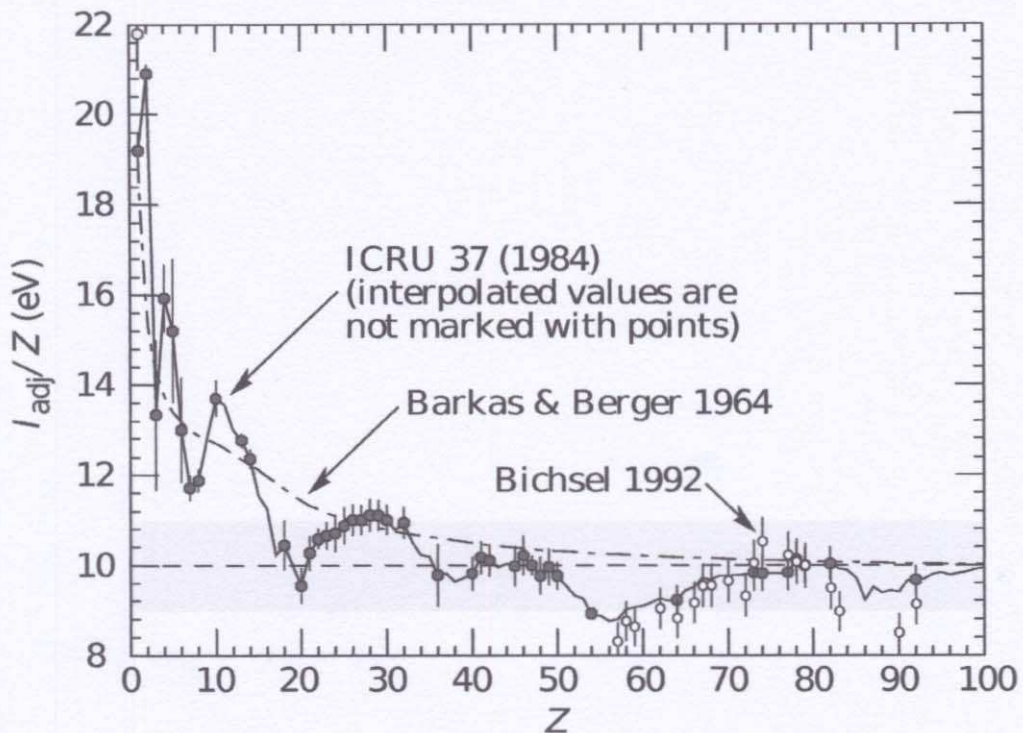


Figure 27.5: Mean excitation energies (divided by Z) as adopted by the ICRU [10]. Those based on experimental measurements are shown by symbols with error flags; the interpolated values are simply joined. The grey point is for liquid H_2 ; the black point at 19.2 eV is for H_2 gas. The open circles show more recent determinations by Bichsel [12]. The dotted curve is from the approximate formula of Barkas [13] used in early editions of this *Review*.

Equation 27.2, and therefore Eq. (27.3), are based on a first-order Born approximation. Higher-order corrections, again important only at lower energy, are normally included by adding the “Bloch correction” $z^2 L_2(\beta)$ inside the square brackets (Eq.(2.5) in [4]) .

An additional “Barkas correction” $z L_1(\beta)$ makes the stopping power for a negative particle somewhat smaller than for a positive particle with the same mass and velocity. In a 1956 paper, Barkas *et al.* noted that negative pions had a longer range than positive pions [6]. The effect has been measured for a number of negative/positive particle pairs, most recently for antiprotons at the CERN LEAR facility [14].

A detailed discussion of low-energy corrections to the Bethe formula is given in ICRU Report 49 [4]. When the corrections are properly included, the Bethe treatment is accurate to about 1% down to $\beta \approx 0.05$, or about 1 MeV for protons.